

2 Термические условия Дальневосточных морей

Японское море

Весь сентябрь 2017 года на большей части акватории Японского моря наблюдалось распределение температуры поверхности приближенное к климатическому с величинами аномалий в пределах $\pm 1,0$ °С. В начале и середине месяца, в северной части моря зарегистрированы локальные области относительно холодных вод с величинами аномалий до $-2,0$ °С. В третью же декаду сентября в южной части акватории наблюдались положительные аномалии до $+2,0$ °С. (рис. 2-1)

Охотское море

Весь сентябрь северная часть акватории Охотского моря была покрыта относительно теплыми водами с максимальными величинами аномалий температуры поверхности моря до $+2,4$ °С в первую и вторую декаду и до $+3,2$ °С в конце месяца. В третью декаду сентября, на северной части акватории наблюдались области с отрицательными аномалиями до $-2,4$ °С. (рис. 2-2).

Берингово море

В сентябре 2017 года северо-западная часть акватории Берингова моря покрывалась относительно теплыми водами, с максимальными аномалиями до $+2,8$ °С в первую и вторую декады и до $+2,0$ °С в конце месяца. На остальной части акватории Берингова моря наблюдалось распределение температуры поверхности приближенное к климатическому с величинами аномалий в пределах $\pm 1,0$ °С. (рис. 2-3).

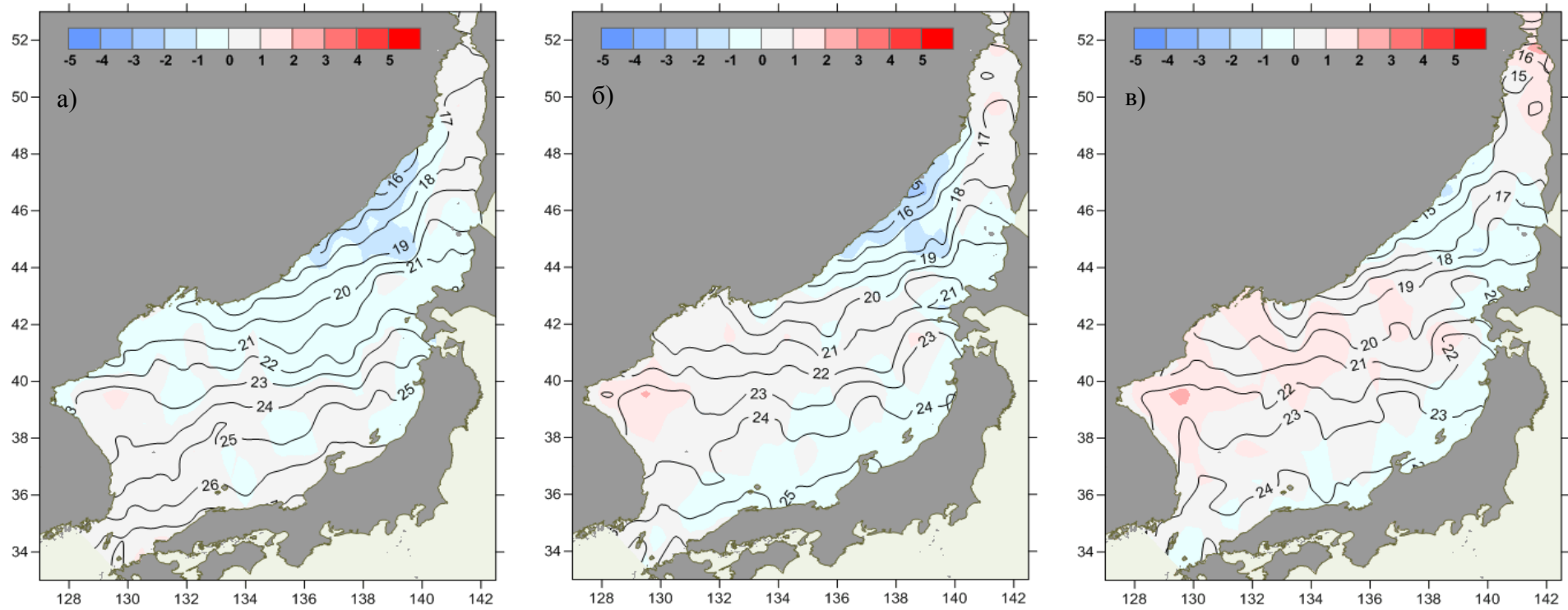


Рис. 2-1 Средняя декадная температура воды (изолинии) и её аномалия (изополосы), Японское море, декады сентября: 1 – а, 2 – б, 3 – в

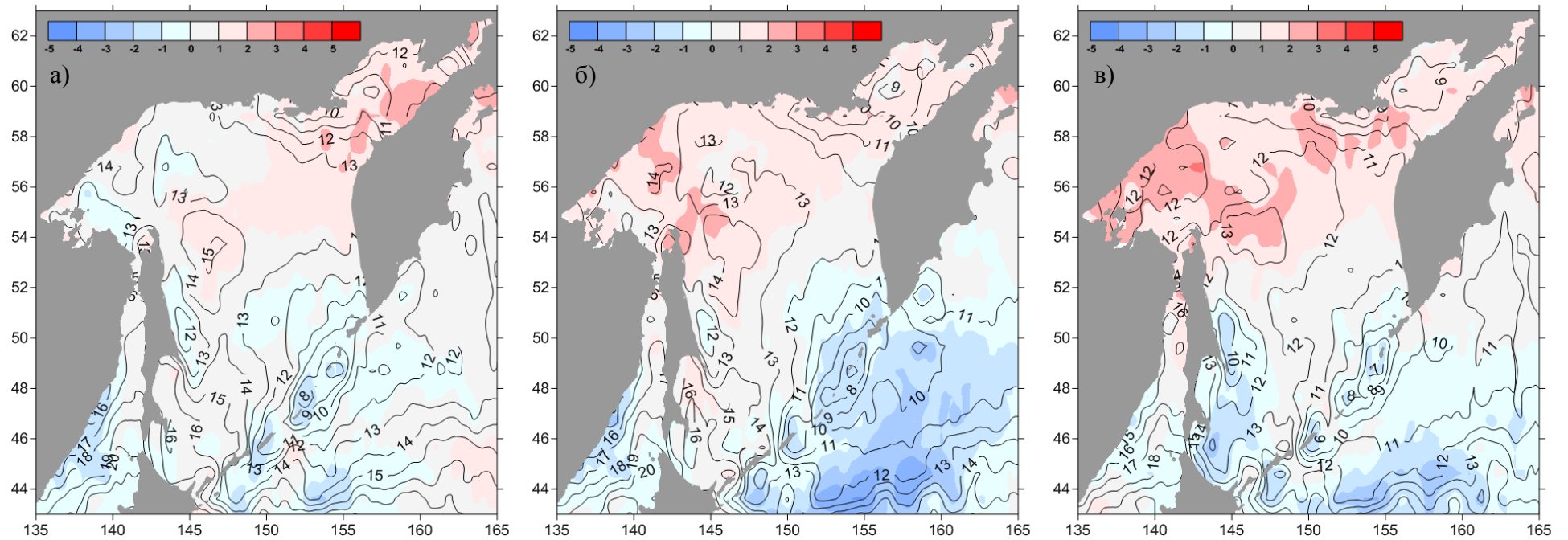


Рис. 2-2 Средняя декадная температура воды (изолинии) и её аномалия (изополосы), Охотское море, декады сентября: 1 – а, 2 – б, 3 – в

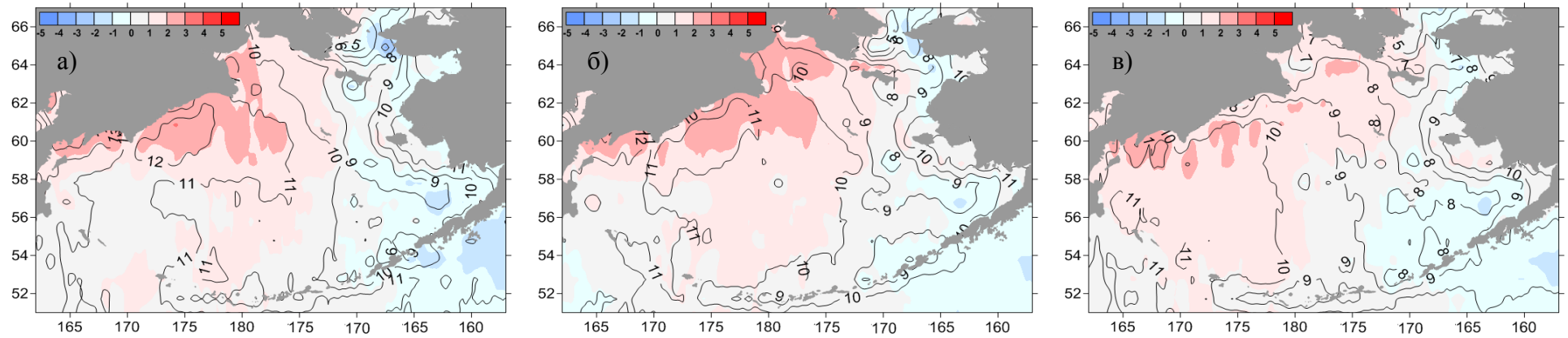


Рис. 2-3 Средняя декадная температура воды (изолинии) и её аномалия (изополосы), Берингово море, декады сентября: 1 – а, 2 – б, 3 – в